

文章编号: 1674-7054(2021)01-0115-09

## Class2 CRISPR-Cas 系统发掘及分析方法

朱晓菲<sup>1</sup>, 黄娇媚<sup>1</sup>, 原昊<sup>2</sup>, 万逸<sup>1,3</sup>

(1. 海南大学海洋学院/南海海洋资源利用国家重点实验室, 海口 570228; 2. 海南大学信息与通信工程学院, 海口 570228; 3. 中国科学院海洋研究所/山东省腐蚀科学重点实验室, 山东 青岛 266071)

**摘要:** 近年来, 规律间隔成簇短回文系统(CRISPR-Cas)作为基因编辑手段在动植物基因编辑中已广泛应用。现已被证实的 Class2 类 CRISPR-Cas 系统 CRISPR-Cas12、CRISPR-Cas14 等均通过生物信息学手段被发掘出来, 因此, 生物信息学成为发现新 CRISPR-Cas 系统及其子类型的重要方法。笔者综述了 Cas 酶两类生物信息学发掘手段, 一类方法是通过已知 Cas 酶建立隐马尔科夫模型(HMM)预测可能的同类 Cas 酶; 另一类方法是以标志序列 Cas1 或 CRISPR 识别为基础分析上下游可能的 Cas 酶, 同时讨论了两种方法的限制。在此基础上, 综述了 Cas 蛋白和 CRISPR 序列进一步分析方法, 包括 Cas 蛋白同源性、进化分析及 CRISPR 序列间隔序列(spacers)、前间隔序列(protospacers)前间隔序列临近基序(PAM)分析。

**关键词:** Cas 酶发掘; CRISPR-Cas 系统; 生物信息学分析

**中图分类号:** Q 783.1 **文献标志码:** A

**引用格式:** 朱晓菲, 黄娇媚, 原昊, 等. Class2 CRISPR-Cas 系统发掘及分析方法 [J]. 热带生物学报, 2021, 12(1): 115-123. DOI: 10.15886/j.cnki.rdsxb.2021.01.017

Clustered Regularly Interspaced Short Palindromic Repeats-associated gene(CRISPR-Cas)全称为成簇的规律间隔的短回文重复序列, 最初于 1987 年在大肠杆菌中发现。ISHINO Y 等<sup>[1]</sup>在研究大肠杆菌 *iap*(碱性磷酸酶)基因时, 在其编码区 3'端侧翼序列中发现长度为 29 bp 高度保守的重复核苷酸序列, 重复序列的间隔为 32 bp。随着对该序列的深入研究, 发现该重复序列广泛存在于古细菌和细菌的基因组中, 直到 2002 年 JANSEN R 正式命名该重复序列为 CRISPR 序列, 除此之外, 该研究还发现 CRISPR 基因的侧翼序列中有 4 种同源基因(CRISPR-associated gene): *cas1*、*cas2*、*cas3*、*cas4*, 这些基因编码一些功能蛋白, 与 CRISPR 有功能相关性<sup>[2]</sup>。随着深入研究, CRISPR-Cas 系统的功能的免疫功能逐渐被发现, CRISPR-Cas 系统类似于真核生物的 RNA 干扰(RNAi)<sup>[3]</sup>, 后经证实是细菌对噬菌体等病原生物物的获得性免疫作用<sup>[4]</sup>。CRISPR-Cas 系统在细菌对抗噬菌体侵入时分为 3 个阶段。第 1 阶段为适应阶段: 在噬菌体侵入细菌时, Cas1-Cas2 蛋白复合物根据前间隔序列临近基序(PAM)位点将噬菌体靶 DNA(protospacer)切割并将这段靶 DNA 序列插入到 CRISPR 重复序列 5'端的末尾, 产生新的间隔序列(spacer)。第 2 阶段是基因的表达和处理阶段, 间隔序列(spacers)和 CRISPR 重复序列共同进行转录, 形成初转录产物 pre-CRISPR RNA(pre-crRNA), 后由 Cas 蛋白复合物对转录初产物进行切割, 得到成熟的包含间隔序列(spacers)和重复序列的 CRISPR RNAs(crRNAs)。不同的 CRISPR-Cas 系统对 pre-crRNA 的处理存在差异, 有些由多个 Cas 蛋白亚基处理, 有的由单个 Cas 蛋白处理, 有的借助于宿主细胞的 RNase。第 3 阶段为干扰阶段, 在 guide RNA(crRNA 和 tracrRNA 合成的引导 RNA)的引导下, 利用单独 Cas 蛋白或是 Cas 蛋白复合物对靶 DNA 或 RNA 进行切割。第一类 CRISPR-Cas 系统在切割靶链时需要多个 Cas 蛋白复合体的参与, 而

收稿日期: 2020-07-08

修回日期: 2020-09-20

基金项目: 山东省腐蚀科学重点实验室开放课题资助项目(HD-KFKT-2019019)

第一作者: 朱晓菲(1998-), 女, 海南大学海洋学院 2019 级硕士研究生. E-mail: xyfids@163.com

通信作者: 万逸(1984-), 男, 博士, 研究员. 研究方向: 海洋微生物技术. E-mail: 993602@126.com

第二类 CRISPR-Cas 系统在切割靶 DNA 或 RNA 时只需要单个 Cas 蛋白加 guide RNA (gRNA) 即可完成对靶链的切割。因此, 第二类 CRISPR-Cas 系统成为现在基因编辑中重要的工具。

## 1 CRISPR-Cas 的发掘方法

Cas 蛋白作为 CRISPR-Cas 系统中的切割靶链的效应部分, 是寻找新 CRISPR-Cas 系统的重点。目前, 基于生物信息学手段发掘 Cas 系统主要分为 2 种方法, 一种是基于对已知 Cas 序列建立隐马尔科夫模型 (Hidden Markov Model, HMM) 对细菌和古细菌基因组进行分析 (图 1a)。另一种是基于 CRISPR-Cas 系统中的标志序列对细菌和古细菌的基因组进行 Cas 基因的查找 (图 1b)。

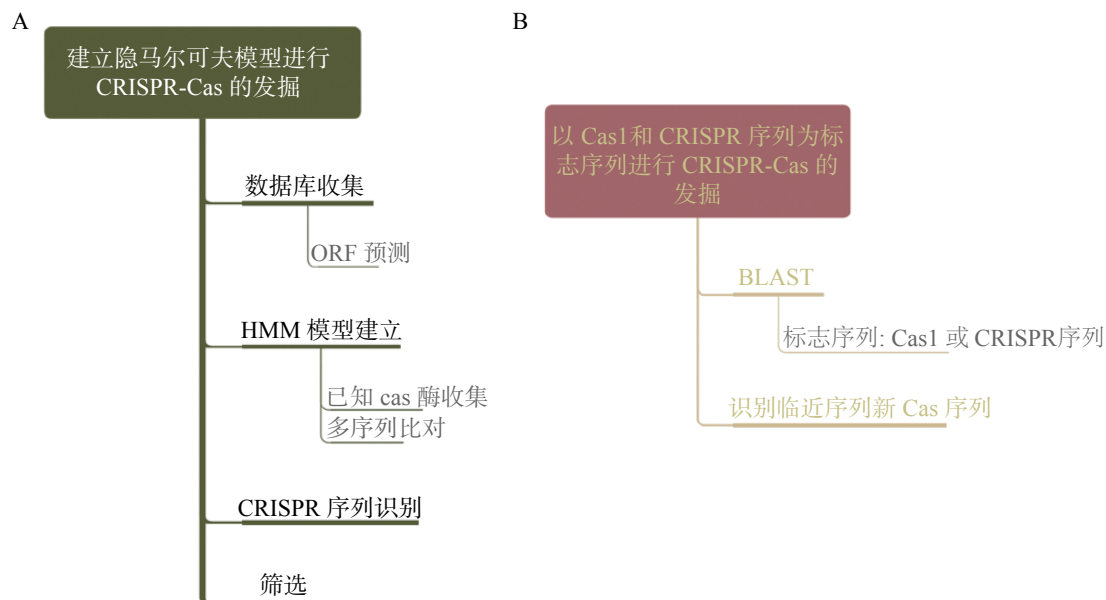


图 1 基于生物信息学手段发掘 Cas 系统的 2 种方法

Fig. 1 Two methods to explore CRISPR-Cas system based on bioinformatics

对细菌和古细菌的 CRISPR-Cas 系统发掘, 所有的生物信息学分析都需要基于它们的基因组。CRISPR-Cas 系统广泛存在于细菌和古细菌中, 在收集数据时需要分为两部分。一类是基因组数据库的收集, 可以通过 NCBI, EBI 等数据库进行细菌和古菌的全基因组数据收集和批量下载<sup>[5]</sup>。第二类是宏基因组, 宏基因组由于数据库庞大, 在 Cas 酶发掘中收集方式多样, 多数通过各种野外研究发现的数据进行基因组分析<sup>[6]</sup>, 宏基因组数据需要组装后才可以进行下一步分析。

### 1.1 建立隐马尔科夫模型进行 CRISPR-Cas 的生物信息学发掘

**1.1.1 读取基因组开放阅读框 (Open Reading Frame, ORF)** 开放阅读框是指 DNA 序列中具有编码蛋白质潜能的序列, 从起始密码子开始, 终止于终止密码子。通过读取开放阅读框, 可以从细菌和组装好的古细菌基因组中识别出所有可以编码蛋白的潜在基因序列, 目前应用于识别原核生物基因组开放阅读框频率较高的预测软件有 Prodigal<sup>[7]</sup>、Glimmer<sup>[8]</sup> 和 GeneMark<sup>[9]</sup> 等, 软件优缺点对比见表 1。其中, Prodigal 是在发掘新 Cas 酶中明确提及使用过的开放阅读框识别软件<sup>[10]</sup>。准确的识别开放阅读框并对开放阅读框的位置进行准确定位有助于后续对 CRISPR 序列定位后二者共同分析。

**1.1.2 对已知的 Cas 酶建立隐马尔科夫模型** 隐马尔科夫模型是一种统计分析模型, 近年来被广泛

表 1 ORF 预测软件对比

Tab. 1 ORF prediction software comparison

软件 Software	优点 Advantages	缺点 Disadvantages
Prodigal	使用简单、所有基因组可在同一文件运行	预测结果较少
Glimmer	预测结果多	使用复杂
Genemarks	依赖自我训练集	需要单个基因组运行

应用到各种生物信息学分析中,主要用于描述某一核苷酸序列从其特定的祖代遗传而来的概率。根据现有的序列通过计算机对序列的分析建立隐马尔科夫模型,进而推测出最有可能出现的祖代序列<sup>[11]</sup>。

在用 HMMER 软件建立隐马尔科夫模型之前,需要对准备建立模型的已知 Cas 蛋白序列进行多序列比对。目前应用于多序列比对有以下几种软件,分别为 CLUSTAL W、MUSCLE、T-COFFEE、DIALING2、MAFFT 等,软件速度 MUSCLE 最快,对比准确性 MUSCLE 最高<sup>[12]</sup>。通过对已知 Cas 酶的多序列比对,得到 STOCKHOLM(sto)文件,作为接下来的模型建立输入文件。

HMMer 是基于隐马尔科夫模型建立的生物信息学分析软件<sup>[13]</sup>,有网页版和本地版,通过 hmmbuild 指令和 Cas 蛋白多序列比对结果输入文件建立已知 Cas 蛋白的隐马尔科夫模型,hmmsearch 指令和建立的 Cas 蛋白模型输入文件可以对预测出的开放阅读框文件进行序列分析,进而推测出可能是 Cas 蛋白的编码序列。

**1.1.3 CRISPR 序列识别** CRISPR 序列包含间隔序列和重复序列,是 CRISPR-Cas 系统中另一个重要的组成部分。应用于发掘 CRISPR-Cas 系统的目前有 3 种,分别为 CRISPRDetect<sup>[14]</sup>、CRISPR Finder<sup>[15]</sup> 和 PILER-CR<sup>[16]</sup>。其中,CRISPR Finder 应用最广<sup>[6,10,17]</sup>,可以准确识别出长度短的 CRISPR 序列,在升级后不止可以识别 CRISPR 序列,还可以通过自带的隐马尔科夫模型对输入的序列进行 Cas 蛋白的预测<sup>[18]</sup>。识别 CRISPR 序列软件优缺点对比见表 2。

表 2 CRISPR 序列识别软件对比  
Tab. 2 Comparison of CRISPR sequence recognition software

软件 Software	优点 Advantages	缺点 Disadvantages
CRISPRDetect	识别序列方向	背景噪声
CRISPR Finder	DRs 识别及展示、 准确识别小序列	单个基因 组序列运行
PILER-CR	使用简单,所有基因组可放在 同一文件运行,速度快	识别精度较低

**1.1.4 筛选** 在对基因组进行生物信息学分析后,得到软件预测出的 Cas 蛋白和 CRISPR 序列。对得到的候选序列进行筛选,筛选条件有以下 3 条:1)同时含有 Cas1 和 CRISPR 序列;2)与 Cas1 相邻的 10 个 ORF 之一包含 1 个大于 800 个氨基酸的未被鉴定的蛋白序列(通过隐马尔科夫模型预测出的);3)在同一基因组列中没有已经被鉴定出的包含 Cas 基因的干扰模块<sup>[10]</sup>。

**1.2 以 Cas1 和 CRISPR 序列为标志序列进行 CRISPR-Cas 系统的生物信息学发掘** JANSE 等人的研究表明,有些 CRISPR 序列上下游无编码 Cas 的序列,有些编码 Cas 酶的序列上下游无 CRISPR 序列<sup>[2]</sup>,因此,以 Cas1 蛋白和 CRISPR 序列为标志序列分别进行识别可以有效搜寻到所有候选序列。此种方法是根据已经发现的 Class2 CRISPR-Cas 系统的结构特征进行发掘。

**1.2.1 选取标志序列对数据库进行搜索** 由于 Cas1 序列在 CRISPR-Cas 系统中高度保守<sup>[19]</sup>,且是在 CRISPR-Cas 系统中普遍存在的编码序列,因此根据 Cas1 序列进行 BLAST 可以有效找出可能含有 CRISPR-Cas 系统的基因组。另一种可选的标志序列为 CRISPR 序列,CRISPR 序列是 CRISPR-Cas 系统中的重要组成部分,因此也可以作为准确识别 CRISPR-Cas 系统的序列,为了准确识别 CRISPR 序列,可以选取上述 CRISPR 识别软件,通过 CRISPR 序列找出的候选序列是通过 Cas1 进行序列筛选的 2 倍<sup>[20]</sup>,这说明很多 CRISPR-Cas 系统是缺乏适应模块的。

**1.2.2 筛选** 对 BLAST 识别出的 Cas1 序列或 CRISPR 识别软件识别出的 CRISPR 序列的上下游进行分析,寻找是否有其他编码 Cas 蛋白。使用 GeneMark 软件中 MetaGeneMark\_v1.mod 模型<sup>[20]</sup>对序列进行开放阅读框识别<sup>[21]</sup>。

对于以 Cas1 为标志序列识别出的序列,通过 CRISPR-Cas 分类标准来检查其上下游是否存在其他的 Cas 基因<sup>[22]</sup>。对于以 CRISPR 为标志识别出的序列,在识别出的 CRISPR 序列的上下游 20 kb<sup>[23]</sup>(有些研究是 10 kb<sup>[23]</sup>)以内识别可能编码蛋白的序列。由于 Cas9 蛋白和 Cpf1 蛋白都由大于 1000 个氨基酸构成<sup>[24-26]</sup>,所以选择氨基酸残基大于 500 的编码序列(有些研究是大于 700 aa<sup>[23]</sup>或 750 aa<sup>[5]</sup>作为新 Cas 蛋白的候选序列进行下一步分析)。

确定新 Cas 蛋白与标志序列和 CRISPR 的位置关系,新 Cas 蛋白需要在标志序列(Cas1)的 4 个基因

以内。多数的 CRISPR-Cas 系统中 Cas 蛋白与 CRISPR 序列共同出现的频率很高,限制新的 Cas 蛋白至少有 50%<sup>[23]</sup> 或 70%<sup>[5]</sup> 位于 CRISPR 序列上下游 20 kb 以内。

## 2 对识别出的 Cas 蛋白序列和 CRISPR 序列进行进一步分析

在发掘出新的 CRISPR-Cas 系统后,需要对其进行生物信息学分析,以便了解 Cas 蛋白的理化性质并进行家族分析。对 CRISPR 序列进行分析可以了解该系统对抗的入侵质粒噬菌体等,并有助于研究其切割位点。对识别出的 Cas 蛋白序列和 CRISPR 序列进行分析流程见图 2。

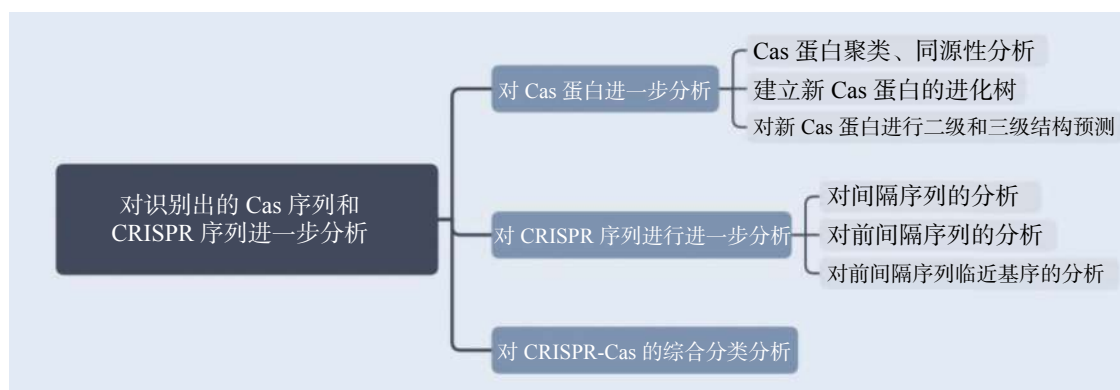


图 2 对识别出的 Cas 蛋白序列和 CRISPR 序列进行分析流程示意图

Fig. 2 Schematic diagram of the analysis process of the identified Cas protein sequence and CRISPR sequence

### 2.1 对 Cas 蛋白的进一步分析

**2.1.1 Cas 蛋白聚类、同源性分析** 对识别出的蛋白进行聚类分析,聚类分析的目的是根据已有的蛋白序列分析预测新蛋白质序列<sup>[27]</sup>,并对研究蛋白质的起源和家族分析有重要意义<sup>[28]</sup>,将 Orthomcl<sup>[29]</sup> 和 MCL<sup>[30]</sup> 或作为新 Cas 蛋白的聚类分析软件。

为了去除基因组中可能造成偏差的聚类序列,对预测出的 Cas 蛋白分析,通过发掘出的 Cas 序列和 PSI-BLAST 软件<sup>[31]</sup> 对 NCBI 的非冗余(nr)蛋白和宏基因组(env\_nr)蛋白数据库进行检索,利用 HMM 对 UniProt 数据库进行检索<sup>[32]</sup> 可得到已知的其他同源蛋白序列<sup>[5]</sup>。使用 HH-suite<sup>[33]</sup> 的 HHpred 对发掘出的 Cas 蛋白进行远距离的同源蛋白检索,要求新的 Cas 蛋白能够检索出 10 个同源效应子<sup>[23]</sup>。

**2.1.2 对发掘出的 Cas 蛋白进行进化树建立** 对发掘出的 Cas 蛋白和搜索出的同源蛋白建立进化树,比较不同 Cas 蛋白之间亲缘关系,是分析新发掘出的 Cas 蛋白的常用分析方法之一。通常进化树建立使用软件有 RaxML<sup>[34]</sup> 和 PhyML<sup>[35]</sup> 等,上述建立进化树软件输入文件为 PHYLIP(.phy)格式。再使用 FigTree 和 iTOL<sup>[36]</sup> 软件实现进化树的可视化。

**2.1.3 对预测出的蛋白进行结构域和三级结构预测** 为了进一步发掘出 Cas 蛋白序列特点,进行结构和结构域的预测分析。由于 Cas 蛋白进化速度很快,要求识别 Cas 蛋白结构域的软件必须能进行精确识别<sup>[19,37]</sup>。对发掘出的 Cas 蛋白进行二级结构预测可以使用 JPred4<sup>[38]</sup>、CD-Search<sup>[39]</sup> 或 HH pred<sup>[40]</sup>。蛋白质的三级结构预测软件分为同源建模法与穿线法,同源建模法预测的原理为相似的氨基酸序列对应着相似的蛋白质结构,如软件 Phyre2<sup>[41]</sup>。穿线法预测通过已知蛋白的结构拓扑进行预测,不相似的蛋白也能有相似的结构,如软件 I-TASSER<sup>[42]</sup>。

### 2.2 对 CRISPR 序列进行分析

**2.2.1 间隔序列 (spacers) 的识别** 识别 CRISPR 序列中的间隔序列(spacers)有助于寻找对抗入侵的质粒和噬菌体。识别 CRISPR 序列的 CRISPRFinder 等软件识别出的间隔序列根据组装基因组数据确定。相关样品的短 DNA 或宏基因组识别间隔序列可使用 CRASS 软件<sup>[43]</sup>。

**2.2.2 前间隔序列 (protospacer) 分析** 前间隔序列作为 CRISPR-Cas 系统进行序列切割在噬菌体或



质粒上与间隔序列对应的靶序列,对前间隔序列的识别要求高相似度。查找噬菌体或质粒中的前间隔序列多使用 BLAST 软件中的 blastn 程序。针对宏基因组数据使用 task blastn-short 程序<sup>[5]</sup>对宏基因组数据库进行前间隔序列识别,要求与间隔序列(spacer)的错配碱基小于等于 1,对于搜索中可能出现的 CRISPR 序列中的间隔序列干扰,通过其重复性去除。除此之外,还可使用 megablastn<sup>[44]</sup>程序,对病毒的非冗余数据库和原核生物基因组数据库进行搜索。此方法要求前间隔序列与间隔序列长度 L 最大错配数限制在区间 $(0, \sqrt{L-22})$ <sup>[20]</sup>。

**2.2.3 前间隔序列临近基序 (PAMs) 分析** 前间隔序列临近基序(PAMs),是一些 Class2 CRISPR-Cas 系统,如 Cas9 蛋白识别靶序列的识别位点,通常在靶 DNA 的 3'末端作用,有研究猜测 PAMs 与 DNA 解旋作用有关<sup>[45]</sup>。PAMs 的识别通过前间隔序列侧翼序列的对齐区域进行查找,PAMs 的可视化和 DNA 图形展示通过 WebLogo<sup>[46]</sup>软件进行。在前间隔序列和间隔序列的对齐过程中,如果出现一个间隔序列与多个不同位置的具有不同侧翼序列前间隔序列匹配,则前间隔序列和下游核苷酸的每一种不同组合都应考虑进 PAMs 的计算中<sup>[5]</sup>。

### 3 对 CRISPR-Cas 系统的分类分析

为了准确分析发掘出的 CRISPR-Cas 系统和新的 Cas 蛋白,在对其进行进一步分析前,应根据新的 CRISPR-Cas 系统进行分类,CRISPR-Cas 系统分类可根据近期发表的分类方法进行<sup>[22]</sup>,根据不同 type 和 subtype 的标志基因,如 *Cas3*、*Cas9* 和 *Cas12* 等对识别出的>500 aa 的 CRISPR-Cas 系统进行分类。

CRISPR-Cas 系统分类方法有根据获得模块(Cas1-Cas2)进行分类、根据 CRISPR 的序列相似性或结构相似性进行分类、根据 Cas1 发生进行分类、根据 CRISPR-Cas 基因座结构分类、根据效应模块进行分类、根据亚型分类、根据物种分类。MAKAROVA 等 2015 年的研究对比了不同 CRISPR-Cas 系统分类方法的不同(图 3),结果表明,通过效应模块进行 CRISPR-Cas 系统分类通过蛋白质的相似性能在聚类处理后的库中搜寻到更多结果,通常能够直接对应已经发现的各种亚型<sup>[22]</sup>。因此,MAKAROVA 等人基于效应模块建立了一种 CRISPR-Cas 系统的自动注释的方法。Cas1-Cas2 组成的获得模块作为最普遍的序列未被选择的原因是其虽与 Cas1 系统发育树密切相关,但与 CRISPR-Cas 基因座结构相关性弱。他们建立的这种分类方法的精确度能达到 0.998。

CRISPR-Cas 系统分为两大类(图 4):一类(Class1)是多个 Cas 蛋白与 crRNA 共同作用切割靶链的 CRISPR-Cas 系统,另一类(Class2)是以 Cas9 为代表的单亚基与 crRNA 共同作用切割靶链的作用系统。目前的分类方法根据不同的特征基因将 Cas 蛋白分为 6 种类型,其中 Class1 分为 3 种类型,Type I:以 *Cas3* 或 *Cas3* 基因的变异体为标志基因,在细菌和古细菌中都有广泛分布;Type III:以 *Cas10* 基因为标志基因,编码多亚基蛋白并包含一个 RNA 识别区域,Type III 在细菌和古菌中也都有分布;Type IV,缺少编码 *Cas1-Cas2* 基因,且部分编码蛋白远离 CRISPR 序列,此种蛋白多分布于细菌中。Class2 分为 3 种类型:Type II:以 *Cas9* 基因为标志基因,在细菌和古菌中都有分布;Type V:以 *Cas12* 和 *Cas14* 基因为标志基因,临近 *Cas1-Cas2* 和 CRISPR 序列,并与 TnpB 蛋白有高度相似性,此种类型大多数分布于细菌中;Type VI:以 *Cas13* 位标志基因<sup>[22,47]</sup>。

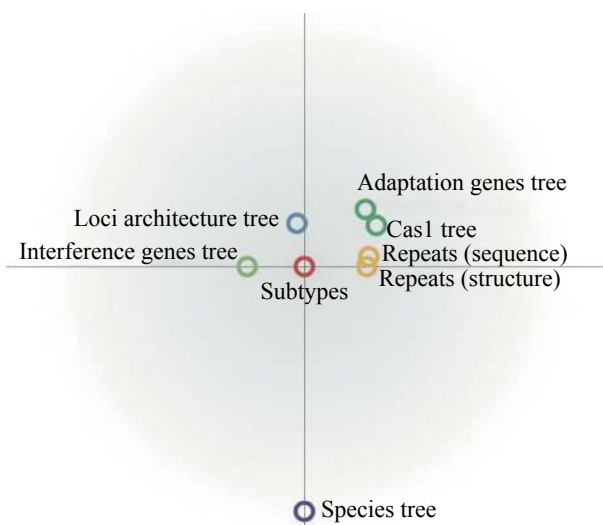
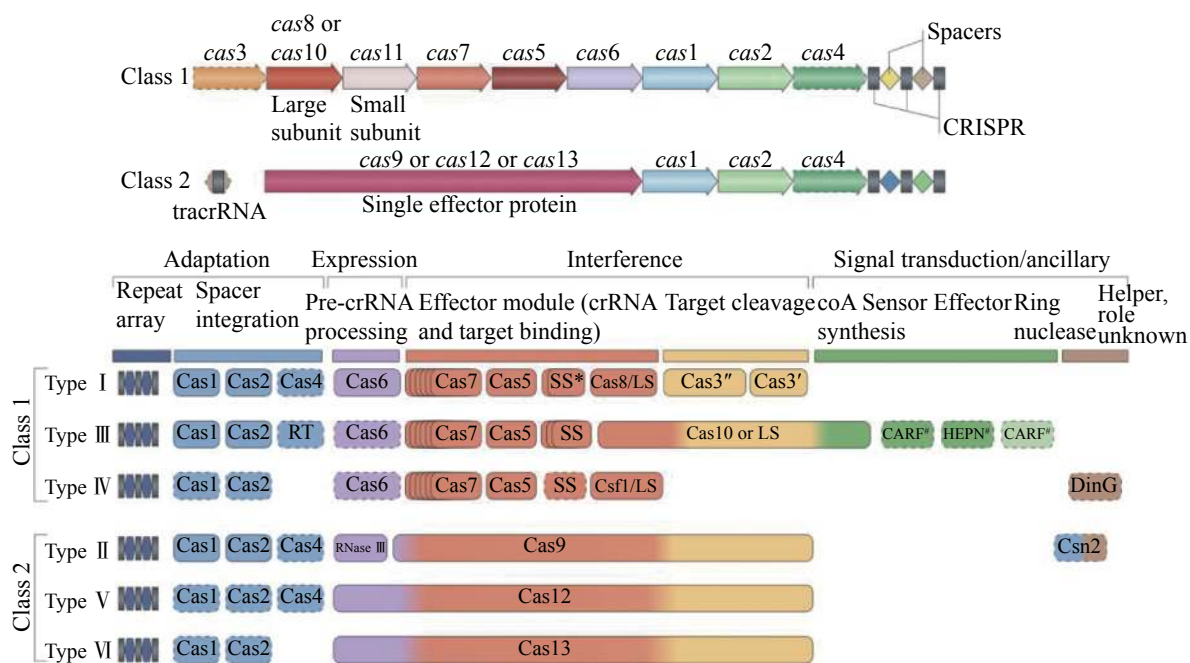


图 3 CRISPR-Cas 系统不同分类方法的比较<sup>[22]</sup>

Fig. 3 Comparison of different classification methods of CRISPR-Cas system<sup>[22]</sup>

图 4 CRISPR-Cas 系统分类图<sup>[47]</sup>Fig. 4 Diagram of classification of CRISPR-Cas systems<sup>[47]</sup>

新的分类和命名方法根据序列相似性、同源序列分析和上下游序列比较进行 CRISPR-Cas 系统的分类。Class2 中,包含了种类 II、种类 V 和种类 VI 及他们的变体(最新分类),其中 type II 的 Cas9 蛋白包含 HNH 和 RuvC-like 两种结构域,分别切割靶 DNA 的两条链。typeV 的 Cas12 蛋白只包含 RuvC-like 结构域负责切割 DNA 的两条链。TypeVI 的 Cas13 蛋白包含 2 个 HEPN 结构域,除此之外,还有非特异性的核糖核酸酶活性。

#### 4 总结与展望

笔者以生物信息学手段为重点,将基于微生物基因组 CRISPR-Cas 系统发掘细分为:1)基于隐马尔科夫模型的发掘方法:i)开放阅读框预测,ii)收集已知的 Cas 蛋白建立隐马尔科夫模型,iii)CRISPR 序列识别;2)以 Cas1 和 CRISPR 为标志序列进行 CRISPR-Cas 发掘:i)通过标志序列 Cas1 或 CRISPR 序列对基因组进行检索,ii)对标志序列的上下游蛋白进行分析寻找可能存在的 Cas 酶。提供了在识别出新 CRISPR-Cas 系统后,对新 CRISPR-Cas 系统的 Cas 酶进行的聚类分析(BLAST、HHpred 等软件)、进化树建立(RAxml 等软件)、结构域和三级结构预测(JPred4 等软件)分析方法;3)对新 CRISPR-Cas 系统中,CRISPR 序列的间隔序列(CRASS 等软件)、前间隔序列(blastn 等)前间隔序列临近基序分析。

然而,不同的分析方法在实践应用中会有相应的限制。Cas 酶发掘方面,通过隐马尔科夫建立模型的手段只能根据已知的 Cas 酶预测出与已知相似的类型,不能预测出序列差别大的两种不同类型 Cas 蛋白。通过标志序列 Cas1 和 CRISPR 序列进行的新 Cas 酶发掘对 CRISPR-Cas 系统的结构有严格要求,发掘出的 CRISPR-Cas 系统必须在上下游 20 kb 以内含有标志序列。随着新发现的 Class2 CRISPR-Cas14 中 Cas 蛋白只有 400~700 个氨基酸<sup>[6]</sup>,传统认为,单个蛋白可以产生靶向切割作用的 Cas 蛋白需要大于 950 个氨基酸残基的观点被颠覆,因此,对于标志基因上下游>700 氨基酸残基的蛋白筛选限制条件应当更新。此外,Cas 蛋白进化分类方面随着 Cas12 发现可能与 TnpB 蛋白转座有关,提供了不同 Cas 蛋白起源不同的新观点。CRISPR 序列识别方面,有些软件并不能展示出 DR 序列或是序列方向,因此,可能会造成 PAM 分析和结构分析的误差。

CRISPR 系统分类上看,随着近年来 CRISPR-Cas 系统研究的不断发展,分类方法应不断更新。主要

原因如下: 1) 随着 CRISPR-Cas 生物信息学发掘工具不断发展, 已经发现靶 RNA 切割的 VI 型和 V 型 CRISPR-Cas 系统, 并有个 V 型的亚型被发现。有研究表明, V 型 CRISPR-Cas 系统是从转座子 TnpB 核酸酶通过基因座转移和重复进化产生, 因此 V 型 CRISPR-Cas 系统出现了大量的突变体, 并且有相当一部分进化成了独立的亚型<sup>[48]</sup>。2) 近年来发现的 CRISPR-Cas 系统中, 被认为在细菌或古菌中执行不同于获得性免疫的功能<sup>[49]</sup>, 不含有靶链切割的能力, 这些被认为功能不同的 CRISPR-Cas 序列通常编码于转座子等可以动的编码区中<sup>[48,50]</sup>。3) 多种涉及到 CRISPR-Cas 系统的标志基因与信号传递和调控作用有关<sup>[51-52]</sup>。

CRISPR-Cas 系统作为定向基因编辑的革命性技术, 拥有巨大的潜力和广阔的研究前景。已经发现的 Class2 CRISPR-Cas 系统可以定向切割靶单链 DNA/RNA 和靶双链 DNA, 然而, 至今为止尚未有科学家发现可切割双链 RNA 的 CRISPR-Cas 系统。随着越来越多的微生物和宏基因组数据被提供、越来越精进的基因组测序以及不断完善的生物信息学方分析, 会有更多的 CRISPR-Cas 系统被发现并应用于基因组的定向编辑, 帮助人们了解分析动植物基因功能。

### 参考文献:

- [1] ISHINO Y, SHINAGAWA H, MAKINO K, et al. Nucleotide sequence of the *iap* gene responsible for alkaline phosphatase isozyme conversion in *Escherichia coli* and identification of the gene product [J]. *Journal of Bacteriology*, 1987, 169(12): 5429 – 5433.
- [2] JANSEN R, EMBDEN J D, GAASTRA W, et al. Identification of genes that are associated with DNA repeats in prokaryotes [J]. *Molecular Microbiology*, 2002, 43(6): 1565 – 1575.
- [3] MAKAROVA K S, GRISHIN N V, SHABALINA S A, et al. A putative RNA-interference-based immune system in prokaryotes: computational analysis of the predicted enzymatic machinery, functional analogies with eukaryotic RNAi, and hypothetical mechanisms of action [J]. *Biology Direct*, 2006, 1(7): 1 – 26.
- [4] BARRANGOU R, FREMAUX C, DEVEAU H, et al. CRISPR provides acquired resistance against viruses in prokaryotes [J]. *Science*, 2007, 315(5819): 1709 – 1712.
- [5] KONERMANN S, LOTFY P, BRIDEAU N J, et al. Transcriptome engineering with RNA-targeting type VI-D CRISPR effectors [J]. *Cell*, 2018, 173(3): 665 – 676.
- [6] LUCAS B H, DAVID B, JANICE S C, et al. Programmed DNA destruction by miniature CRISPR-Cas14 enzymes [J]. *Science*, 2018, 362(6416): 839 – 842.
- [7] HYATT D, CHEN G L, LOCASCIO P F, et al. Prodigal: prokaryotic gene recognition and translation initiation site identification [J]. *Bmc Bioinformatics*, 2010, 11(119): 1 – 11.
- [8] DELCHER A L, BRATKE K A, POWERS E C, et al. Identifying bacterial genes and endosymbiont DNA with Glimmer [J]. *Bioinformatics*, 2007, 23(6): 673 – 679.
- [9] BESEMER J, LOMSADZE A, BORODOVSKY M. GeneMarkS: a self-training method for prediction of gene starts in microbial genomes. Implications for finding sequence motifs in regulatory regions [J]. *Nucleic Acids Research*, 2001, 29(12): 2607 – 2618.
- [10] BURSTEIN D, HARRINGTON L B, STRUTT S C, et al. New CRISPR-Cas systems from uncultivated microbes [J]. *Nature*, 2017, 542(7640): 237 – 241.
- [11] 周海廷. 隐马尔科夫过程 in 生物信息学中的应用 [J]. *生命科学研究*, 2002, 6(3): 204 – 210.
- [12] WONG K M, SUCHARD M A, HUELSENBECK J P. Alignment Uncertainty and Genomic Analysis [J]. *Science*, 2008, 319(5862): 473 – 476.
- [13] POTTER S C, LUCIANI A, EDDY S R, et al. HMMER web server: 2018 update [J]. *Nucleic Acids Research*, 2018(46): 200 – 204.
- [14] BISWAS A, STAALS J, MORALES S E, et al. CRISPRDetect: A flexible algorithm to define CRISPR arrays [J]. *BMC Genomics*, 2016, 17(1): 1 – 14.
- [15] IBTISSEM G, GILLES V, CHRISTINE P. CRISPRFinder: a web tool to identify clustered regularly interspaced short palindromic repeats [J]. *Nucleic Acids Research*, 2007(35): 52 – 57.
- [16] Robert C E. PILER-CR: Fast and accurate identification of CRISPR repeats [J]. *BMC Bioinformatics*, 2007, 8(18): 1 – 6.
- [17] ZETSCHKE B, GOOTENBERG J S, ABUDAYYEH O O, et al. Cpf1 is a single RNA-guided endonuclease of a class 2 CRISPR-Cas system [J]. *Cell*, 2015(163): 1 – 13.
- [18] COUVIN D, BERNHEIM A, TOFFANO-NIOCHE C, et al. CRISPRCasFinder, an update of CRISPRFinder, includes a port-

- able version enhanced performance and integrates search for Casproteins [J]. *Nuclc Acids Research*, 2018(46): 246 – 251.
- [19] TAKEUCHI N, WOLF Y I, MAKAROVA S, et al. Nature and intensity of selection pressure on CRISPR-associated genes [J]. *Journal of Bacteriology*, 2011, 194(5): 1216 – 1225.
- [20] SHMAKOV S, SMARGON A, SCOTT D, et al. Diversity and evolution of class 2 CRISPR–Cassystems [J]. *Nature Reviews Microbiology*, 2017, 15(3): 169 – 182.
- [21] WENHAN ZHU, LOMSADZE A, BORODOVSKY M. Ab initio gene identification in metagenomic sequences [J]. *Nucleic Acids Research*, 2010, 38(12): e132.
- [22] MAKAROVA K S, WOLF Y I, ALKHNASHI O S, et al. An updated evolutionary classification of CRISPR-Cassystems [J]. *Nature Reviews Microbiology*, 2015, 13(3569): 722 – 736.
- [23] SMARGON A A, COX D B, PYZOCHA N K, et al. Cas13b is a type VI-B CRISPR-associated RNA-guided RNase differentially regulated by accessory proteins Csx27 and Csx28 [J]. *Molecular Cell*, 2017(65): 618 – 630.
- [24] NISHIMASU H, RAN A F, PATRICK D H, et al. Crystal structure of Cas9 in complex with guide RNA and target DNA [J]. *Cell*, 2014(156): 935 – 949.
- [25] NISHIMASU H, CONG L, YAN W, et al. Crystal structure of *Staphylococcus aureus* Cas9 [J]. *Cell*, 2015, 162(5): 1113 – 1126.
- [26] YAMANO T, NISHIMASU H, ZETSCHKE B, et al. Crystal structure of Cpf1 in complex with guide RNA and target DNA [J]. *Cell*, 2016, 165(4): 949 – 962.
- [27] 唐东明, 朱清新, 陈科, 等. 一种有效的蛋白质序列聚类分析方法 [J]. *软件学报*, 2011, 22(8): 1827 – 1837.
- [28] YING ZHAO, KARYPIS G. Data clustering in life sciences [J]. *Molecular Biotechnology*, 2005, 31(1): 55 – 80.
- [29] LI L. OrthoMCL: Identification of ortholog groups for eukaryotic genomes [J]. *Genome Research*, 2003, 13(9): 2178 – 2189.
- [30] ENRIGHT A J, DONGEN S V, OUZOUNIS C A. An efficient algorithm for large-scale detection of protein families [J]. *Nucleic Acids Research*, 2002, 30(7): 1575 – 1584.
- [31] ARON M B, PANCHENKO A R, SHOEMAKER B A, et al. CDD: a database of conserved domain alignments with links to domain three-dimensional structure [J]. *Nucleic Acids Research*, 2002(30): 281 – 283.
- [32] UNIPROT C. The UniProt Consortium. UniProt: a hub for protein information [J]. *Nucleic Acids Research*, 2015, 43(D1): D204 – D212.
- [33] REMMERT M, BIEGERT A, HAUSERA, et al. HHblits: Lightning-fast iterative protein sequence searching by HMM-HMM alignment [J]. *Nature Methods*, 2011, 9(2): 173 – 175.
- [34] ALEXANDROS S. RAXML version 8: A tool for phylogenetic analysis and post-analysis of large phylogenies [J]. *Bioinformatics*, 2014(9): 1312 – 1313.
- [35] GASCUEL O. New algorithms and methods to estimate maximum-likelihood phylogenies: assessing the performance of PhyML 3.0 [J]. *Systematic Biology*, 2010, 59(3): 307 – 321.
- [36] IVICA L, PEER B. Interactive Tree of Life (iTOL): An online tool for phylogenetic tree display and annotation [M]. New York: Oxford University Press, 2007.
- [37] MAKAROVA K S, WOLF Y I, KOONIN E V. Comparative genomics of defense systems in archaea and bacteria [J]. *Nucleic Acids Research*, 2013, 41(8): 4360 – 4377.
- [38] Alexey D, Christian C, James P, et al. JPred4: a protein secondary structure prediction server [J]. *Nucleic Acids Research*, 2015, 43(332): 389 – 394.
- [39] MARCHLER-BAUER A, STEPHEN H B. CDD: conserved domains and protein three-dimensional structure [J]. *Nucleic Acids Research*, 2004, 32(454): 327 – 331.
- [40] SODING J. Protein homology detection by HMM-HMM comparison. [J]. *Bioinformatics*, 2005(21): 951 – 960.
- [41] KELLEY L A, MEZULIS S, YATES C M, et al. The Phyre2 web portal for protein modeling, prediction and analysis [J]. *Nature Protocol*, 2015, 10(6): 845 – 858.
- [42] ROY A, KUCUKURAL A, ZHANG Y. I-TASSER: a unified platform for automated protein structure and function prediction [J]. *Nature Protocols*, 2010, 5(4): 725 – 738.
- [43] SKENNERTON C T, MICHAEL I, TYSON G W. Crass: identification and reconstruction of CRISPR from unassembled metagenomic data [J]. *Nucleic Acids Research*, 2013, 41(10): 105.
- [44] ZHANG Z, SCHWARTZ S, WAGNER L, et al. A greedy algorithm for aligning DNA sequences. [J]. *Journal of Computational Biology*, 2000, 7(2): 203 – 214.
- [45] JINEK M, CHYLINSKI K, FONFARA I, et al. A programmable dual-RNA-guided DNA endonuclease in adaptive bacterial immunity [J]. *Science*, 2012, 337(6096): 816 – 821.
- [46] GAVIN E C, GARY H, JOHN J M, et al. WebLogo: a sequence logo generator [J]. *Genome Research*, 2004, 14(6):



1188 – 1190.

- [47] MAKAROVA K S, WOLF Y I, IRANZO J, et al. Evolutionary classification of CRISPR–Cas systems: a burst of class 2 and derived variants [J]. *Nature Reviews Microbiology*, 2020, 18(2): 67 – 83.
- [48] KOONIN E V, MAKAROVA K S. Mobile genetic elements and evolution of CRISPR–Cas systems: all the way there and back [J]. *Genome Biology and Evolution*, 2017, 9(10): 2812 – 2825.
- [49] GUILHEM F K, MAKAROVA K S, KOONIN E V. CRISPR–Cas: complex functional networks and multiple roles beyond adaptive immunity [J]. *Journal of Molecular Biology*, 2019, 4(431): 3 – 20.
- [50] PETERS J E, MAKAROVA K S, SHMAKOV S, et al. Recruitment of CRISPR–Cas systems by Tn7-like transposons [J]. *Proceedings of the National Academy of Sciences*, 2017, 114(35): 7358 – 7366.
- [51] MIGLE K, GEORGIJ K, CESLOVAS V, et al. A cyclic oligonucleotide signaling pathway in type III CRISPR–Cas systems [J]. *Science*, 2017(357): 605 – 609.
- [52] NIEWOEHNER O, GARCIA-DOVAL C, ROSTOL J T, et al. Type III CRISPR–Cas systems produce cyclic oligoadenylate second messengers [J]. *Nature*, 2017, 548(7669): 543 – 548.

## Methods for Discovery and Analysis of Class2 CRISPR-Cas Systems

ZHU Xiaofei<sup>1</sup>, HUANG Jiaomei<sup>1</sup>, YUAN Hao<sup>2</sup>, WAN Yi<sup>1,3</sup>

(1. Marine College/State Laboratory of Marine Utilization in South China Sea, Hainan University, Haikou, Hainan 570228;

2. College of Information and Communication Engineering, Hainan University, Haikou, Hainan 570228;

3. Institute of Oceanology/Shandong Key Laboratory of Corrosion Science, Chinese Academy of Sciences, Qingdao, Shandong 266071)

**Abstract:** Clustered Regularly Interspaced Short Palindromic Repeats (CRISPR–Cas) has been widely used as a tool in recent years for gene editing in animal and plant gene editing. The proven Class2 CRISPR–Cas systems, such as CRISPR–Cas12 and CRISPR–Cas14, have been discovered through bioinformatics mining. Bioinformatics has become an important tool for discovering of new CRISPR–Cas systems and their subtypes. Two methods for bioinformatics mining of Cas enzymes are reviewed. One method is to create a hidden Markov model (HMM) using known Cas enzymes to predict similar Cas enzymes, and the other method is to analyze the possible upstream and downstream Cas enzymes based on the recognition of the marker sequence Cas1 or CRISPR. The limitations of these two methods are discussed. Furthermore, methods for further analysis of Cas protein and CRISPR sequences are also reviewed, including Cas protein homology, phylogenetic analysis, and analysis of CRISPR sequence spacers, protospacers & protospacer adjacent motifs (PAM).

**Keywords:** mining of Cas enzyme; CRISPR–Cas system; bioinformatics analysis

(责任编辑:潘学峰)